

埼玉大学理工学部 正員 吉中龍之進
東京都建設局 田井道明
電源開発KK ○川島由生雄

(1) まえがき 完晶質岩石の花こう岩は異方性熱膨張率をもつ各鉱物粒子の複雑な結合体であるに加えて特異な熱膨張性の低温度石英を多量に含むことにより独特の風化形態を示すことは良く知られる。本文は新鮮な花こう岩の試料を加熱・冷却により組織を任意の程度に弛めその力学的性質を一・三軸圧縮応力下で求めた結果を述べたもので、ここに示された性質は "low porosity interlocked" 状態にある物質、例えはキレット性岩盤の性質の一端を示すものと考えられる。などを Rosengren and Jaeger (1968) による大理石を用いた関連研究がある。

(2) 供試体の作成 愛媛県越智郡宮窪町余所国の大石場から定方位で採取した新鮮な(間隙率0.5%)岩塊から直径50mm高さ約100mmの円筒供試体作成・整形した。ついで組織を弛める為に電気マツフル炉で所定温度(300, 500, 600, 700, 900, 1000°C)まで100~140°C/hourの昇温率下加熱し所定温度で24時間保つ。その後試体を110°Cの炉下冷却し更に室温へ下げる。1000°Cの熱処理に約3日を要した。この方法下間隙率約8%程度まで連続的に作ることができた。熱処理した供試体を検鏡する

と微細キレットの核が主でついでキレット数の増加が認められた。JIS-Q-1202による鉱物粒子の平均比重は温度による変化ではなく平均2.64である。

(3) 一軸圧縮試験結果

図1は飽和供試体による一連の応力-ひずみ関係を示す。ひずみは軸方向に接着した2枚(ゲージ長20mm)及び1/1000mm精度のタイヤルゲージ2個で測定した。後述の様に両者には本質的な差が認められなかったので破壊領域まで位変が追跡できる後者による値で図1に示す。

加熱処理下圧縮強度、変形係数が著しく低下することが図示されている。これにより変形性について①初期の高い圧縮性②更にこれに続く直線性③繰返しによる著しい残留ひずみなどの特徴は非加熱試料の特性が高い間隙率の試料下で拡大継承されることが解る。また上記②の変形係数は $100 \times 10^3 \rightarrow 30 \times 10^3 \text{ kN/cm}^2$ に変化する。

図2は600°Cで処理した供試体のひずみ特性で比較のためにタイヤルゲージ法ヒストレンゲージ法で同時に測定した結果を併記した。前者の場合にはこれらのケースにおいても供試体以外に生ずるひずみは除去する修正をしている。図より①横ひずみの進行性破壊傾向及

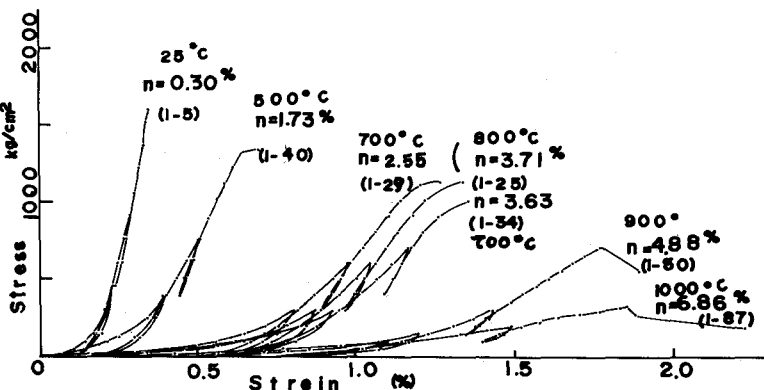


図1. 一軸圧縮による応力-ひずみ曲線(飽水試料による排水試験)
(n: 間隙率, (): 試料番号, 温度: 热処理温度)

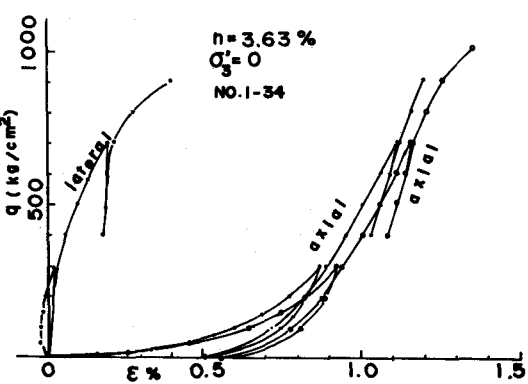


図2 応力-一軸・横ひずみ曲線(飽水試料)
(S: 圧縮応力, E: ひずみ [タイヤルゲージによる])

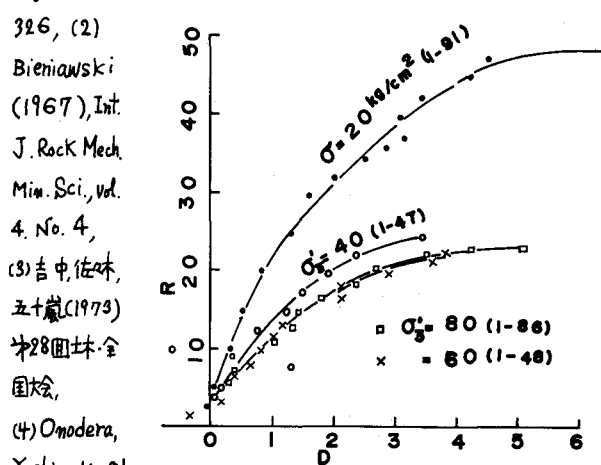
①塑性的変形性、②破壊近傍では軸ひずみよりも横ひずみが大きいなどの特徴が読みとれる。

(4)三軸圧縮試験結果 上記と同様 1000°C まで加熱処理した供試体による一連の三軸排水試験(最大側圧 100 kg/cm^2)を行なった。供試体の変形は前記2方法に更に体積変化を供試体に生ずる吸・排水量毎ビュレットで併用して求めた。図3はその1例である。本試験を通して観察された応力-ひずみ関係の特徴は、①破壊(最大軸差応力)時の著しい体積膨張傾向、②軸ひずみの直線変形区间においても既にその中间応力段階で急激な内部破壊が横ひずみの異常な増加の形で現われている($\epsilon_1 - \epsilon_{\text{v}}, \epsilon_2 - \epsilon_{\text{v}}$)こと、③その他、弛み比 n の増大による破壊ひずみの増大、 n の増大による変形係数の増大等がみられた。ここでは①②に注目して強度に対する体積変化の効果を調べるために変形の各段階におけるDilatancy Rate(D)

と応力との関係を求めた。図4は間隙率約7%(1000°C 熱処理)の例で応力の発生に対する D の重要性を示し通常の土質材料とは D の大きさで全く異質のものであることが解る。図5は各弛み程度の試料の R_{max} 時の D の関係を示す。 n 増大により結合材料から材料への移行と D に対する R の効果が示されている。またモール応力円から求めた内部摩擦角($60\sim 70^{\circ}$)は間隙率の変化による影響をほとんど受けていない。

(5)まとめ 热処理により自然風化岩では整形が極めて困難な供試体を作成するには成功しその力学的性質の一端を明らかにすることができた。

参考文献: (1) Rosengren & Jaeger (1968), Géotech nique, Vol. 18, PP 317-326, (2) Bieniawski (1967), Int. J. Rock Mech. Min. Sci., Vol. 4, No. 4,



(4) Onodera, Yoshinaka & Oda, (1974) Proc. 3rd ISRM, Vol. 2, Part A. (1000°C 熱処理, $R = \sigma_1 / \sigma_3$, $D = 1 - \epsilon_{\text{v}} / \epsilon_1$)

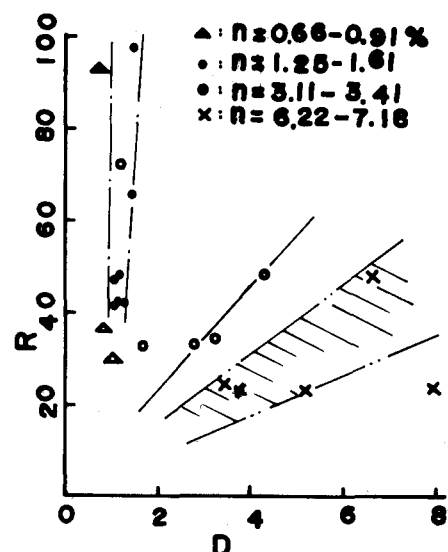
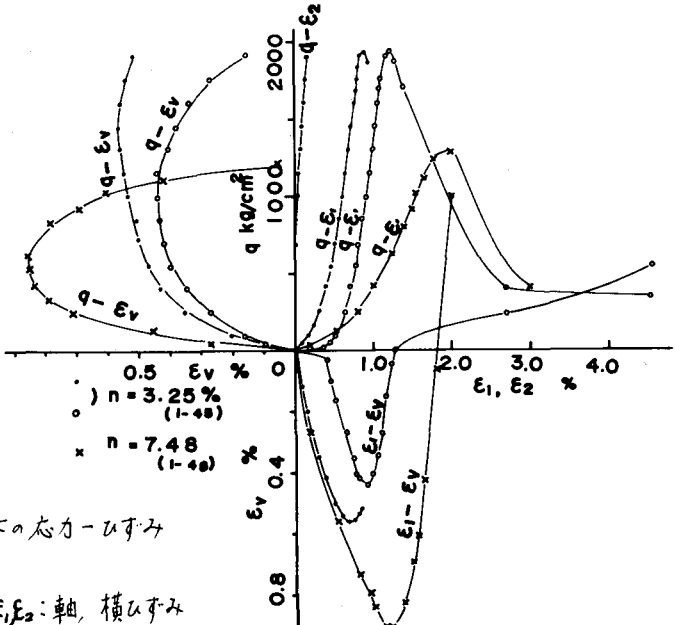


図5 破壊時の主応力比 R -Dilatancy Rate の関係